

メッセージ伝播法入門

後半第7回講義資料

メッセージ伝播法の発展的内容

広島市立大学
令和4年9月26日～9月28日

豊橋技術科学大学
電気・電子情報工学系
准教授 竹内啓悟

AMPの利点と欠点

AMPの利点

- 計算量は、干渉除去に整合フィルタを使うため、**最小限**である。

反復当たりの計算量： $\mathcal{O}(MN)$

- 観測行列の成分が独立で $\mathcal{N}(0, 1/M)$ に従う場合、
状態発展方程式の不動点が唯一ならば、AMPは大システム
極限で**ベイズ最適な性能**を達成する。[3-4, 1-7, 1-8]

AMPの欠点

悪条件[7-1]や非ゼロ平均[7-2]など、観測行列が非i.i.d.行列
の場合、AMPは収束しない。

[7-1] S. Rangan, P. Schniter, A. Fletcher, and S. Sarkar, "On the convergence of approximate message passing with arbitrary matrices," *IEEE Trans. Inf. Theory*, vol. 65, no. 9, pp. 5339–5351, Sep. 2019.

[7-2] F. Caltagirone, L. Zdeborová, and F. Krzakala, "On convergence of approximate message passing," in *Proc. 2014 IEEE Int. Symp. Inf. Theory*, Honolulu, HI, USA, Jul. 2014, pp. 1812–1816.

Orthogonal/Vector AMP[7-3, 7-4]

モジュールA

線形フィルタ

$$\mathbf{x}_{A,t} = \mathbf{x}_{B \rightarrow A,t} + \mathbf{W}_t^T (\mathbf{y} - \mathbf{A} \mathbf{x}_{B \rightarrow A,t}),$$

$$\xi_{A,t} = \frac{1}{N} \text{Tr}(\mathbf{I} - \mathbf{W}_t^T \mathbf{A})$$

オンサーガ補正

$$\mathbf{x}_{A \rightarrow B,t} = \frac{\mathbf{x}_{A,t} - \xi_{A,t} \mathbf{x}_{B \rightarrow A,t}}{1 - \xi_{A,t}},$$

$$\mathbf{v}_{A \rightarrow B,t} = \frac{\xi_{A,t} \mathbf{v}_{B \rightarrow A,t}}{1 - \xi_{A,t}}$$

モジュールB

Denoiser

$$\mathbf{x}_{B,t+1} = \eta_t(\mathbf{x}_{A \rightarrow B,t}),$$

$$\xi_{B,t} = \langle \eta'_t(\mathbf{x}_{A \rightarrow B,t}) \rangle$$

オンサーガ補正

$$\mathbf{x}_{B \rightarrow A,t+1} = \frac{\mathbf{x}_{B,t+1} - \xi_{B,t} \mathbf{x}_{A \rightarrow B,t}}{1 - \xi_{B,t}},$$

$$\mathbf{v}_{B \rightarrow A,t+1} = \frac{\xi_{B,t} \mathbf{v}_{A \rightarrow B,t}}{1 - \xi_{B,t}}$$

[7-3] J. Ma and L. Ping, "Orthogonal AMP," *IEEE Access*, vol. 5, pp. 2020–2033, Jan. 2017.

[7-4] S. Rangan, P. Schniter, and A. K. Fletcher, "Vector approximate message passing," *IEEE Trans. Inf. Theory*, vol. 65, no. 10, pp. 6664–6684, Oct. 2019.

OAMP/VAMP

ベイズ最適なOAMP/VAMP

以下の線形MMSEフィルタとベイズ最適なdenoiserを使用

$$W_t = v_{B \rightarrow A, t} (\sigma^2 I + v_{B \rightarrow A, t} A A^T)^{-1} A$$

関連アルゴリズム

- ベイズ最適なOAMP/VAMPは、期待値伝播法[7-5]の大システム近似[7-6, 7-7]と等価である。
- OAMP/VAMPの特別な場合は、[7-8]で最初に提案された。

[7-5] T. P. Minka, "Expectation propagation for approximate Bayesian inference," in *Proc. 17th Conf. Uncertainty Artif. Intell.*, Seattle, WA, USA, Aug. 2001, pp. 362–369.

[7-6] J. Céspedes, P. M. Olmos, M. Sánchez-Fernández, and F. Perez-Cruz, "Expectation propagation detection for high-order high-dimensional MIMO systems," *IEEE Trans. Commun.*, vol. 62, no. 8, pp.2840–2849, Aug. 2014.

[7-7] K. Takeuchi, "Rigorous dynamics of expectation-propagation-based signal recovery from unitarily invariant measurements," *IEEE Trans. Inf. Theory*, vol. 66, no. 1, pp. 368–386, Jan. 2020.

[7-8] M. Opper and O. Winther, "Expectation consistent approximate inference," *J. Mach. Learn. Res.*, vol. 6, pp. 2177–2204, Dec. 2005.

行列の直交不変性

X を任意のランダム行列とする。

左直交不変性

ΦX が定義可能で、 X と独立なすべての直交行列 Φ に対して、以下の条件が成立するとき、 X は左直交不変であると言う。

$$X \sim \Phi X. \quad (\text{両辺の分布が同一})$$

右直交不変性

$X\Psi$ が定義可能で、 X と独立なすべての直交行列 Ψ に対して、以下の条件が成立するとき、 X は右直交不変であると言う。

$$X \sim X\Psi.$$

状態発展法による解析

状態発展方程式[7-4, 7-7]

モジュールA

$$\bar{\xi}_{A,t} = \lim_{M=\delta N \rightarrow \infty} \frac{1}{N} \text{Tr}(I - W_t^T A), \quad \bar{v}_{A \rightarrow B,t} = \frac{\bar{\xi}_{A,t} \bar{v}_{B \rightarrow A,t}}{1 - \bar{\xi}_{A,t}}$$

モジュールB

$$\begin{aligned} \bar{\xi}_{B,t} &= \mathbb{E}[\eta'_t(x_1 + \omega_1)], \\ \omega_1 &\sim \mathcal{N}(0, \bar{v}_{A \rightarrow B,t}). \end{aligned} \quad \bar{v}_{B \rightarrow A,t+1} = \frac{\bar{\xi}_{B,t} \bar{v}_{A \rightarrow B,t}}{1 - \bar{\xi}_{B,t}}$$

右直交不変な観測行列の場合

大システム極限で、

$$\frac{1}{N} \|\mathbf{x} - \mathbf{x}_{B,t+1}\|^2 \rightarrow \mathbb{E}[\{x_1 - \eta_t(x_1 + \omega_1)\}^2] \text{ almost surely.}$$

OAMP/VAMPの利点と欠点

OAMP/VAMPの利点

- 観測行列が右直交不変の場合、状態発展方程式の不動点が唯一ならば、OAMP/VAMPは大システム極限で**ベイズ最適**な性能を達成する。[7-4, 7-7, 7-9, 7-10, 7-11]

OAMP/VAMPの欠点

- 線形MMSEフィルタの実装に、**Aの特異値分解**が必要である。
特異値分解の計算量： $O(M^2N + MN^2 + N^3)$
- 信号事前分布として**ガウス分布を仮定できない**。

[7-9] K. Takeda, S. Uda, and Y. Kabashima, "Analysis of CDMA systems that are characterized by eigenvalue spectrum," *Europhys. Lett.*, vol. 76, no. 6, pp. 1193–1199, 2006.

[7-10] A. M. Tulino, G. Caire, S. Verdú, and S. Shamai (Shitz), "Support recovery with sparsely sampled free random matrices," *IEEE Trans. Inf. Theory*, vol. 59, no. 7, pp. 4243–4271, Jul. 2013.

[7-11] J. Barbier, N. Macris, A. Maillard, and F. Krzakala, "The mutual information in random linear estimation beyond i.i.d. matrices," in *Proc. 2018 IEEE Int. Symp. Inf. Theory*, Vail, CO, USA, Jun. 2018, pp. 1390–1394.

長期記憶メッセージ伝播法

一般形 $x_{A,t} = \phi_t(x_{B,0}, \dots, x_{B,t}), \quad x_{B,t+1} = \psi_t(x_{A,0}, \dots, x_{A,t})$

メッセージを更新する際、過去のメッセージすべてを使う。

ϕ_t や ψ_t の設計目標

最小限の計算量で、ベイズ最適な性能を達成する。

設計手順

1. 関数 ϕ_t や ψ_t の適切なモデルを考える。
2. 状態発展法の一般論[7-12]を利用して、誤差が漸近的にガウス分布するように、モデルパラメータの一部を設計する。
3. 状態発展法により、残りのパラメータを最適化する。

[7-12] K. Takeuchi, "Bayes-optimal convolutional AMP," *IEEE Trans. Inf. Theory*, vol. 67, no. 7, pp. 4405–4428, Jul. 2021.

Convolutional AMP

Convolutional AMP (CAMP) [7-12, 7-13]

$$\mathbf{x}_{t+1} = \eta_t(\mathbf{x}_t + \mathbf{A}^T \mathbf{z}_t), \quad \xi_t = \langle \eta'_t(\mathbf{x}_t + \mathbf{A}^T \mathbf{z}_t) \rangle$$

$$\mathbf{z}_t = \mathbf{y} - \mathbf{A}\mathbf{x}_t + \sum_{\tau=0}^{t-1} \left(\prod_{t'=\tau}^{t-1} \xi_{t'} \right) (\theta_{t-\tau} \mathbf{A}\mathbf{A}^T - g_{t-\tau} \mathbf{I}_M) \mathbf{z}_\tau,$$

AMPのオンサーガ補正を過去の全メッセージの畳み込みに拡張

CAMPの利点

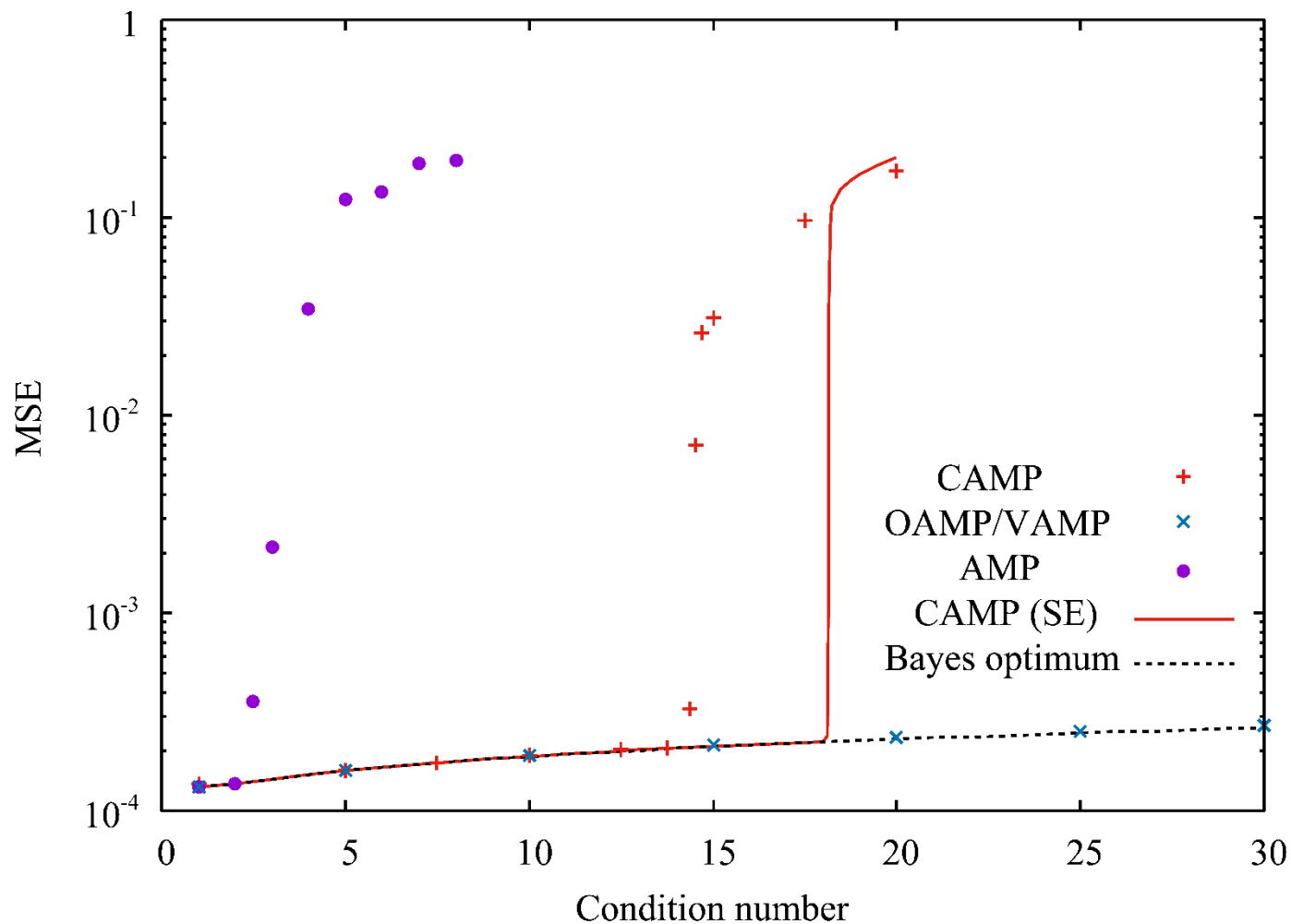
CAMPの計算量は、最小限である。

注意

\mathbf{A} の成分が独立で $\mathcal{N}(0, 1/M)$ に従うとき、CAMPはAMPと等価

[7-13] K. Takeuchi, "Convolutional approximate message-passing," *IEEE Signal Process. Lett.*, vol. 27, pp. 416–420, 2020.

数値実験(文献[7-12]のFig. 4)



$M = 2^{10}$ 、 $N = 2^{11}$ 、信号密度 $\rho = 0.1$ のBG事前分布、 $1/\sigma^2 = 30$ dB

Memory AMP [7-14]

モジュールA

$$\mathbf{x}_{A \rightarrow B, t} = \frac{1}{\epsilon_t} \left(\mathbf{A}^T \mathbf{z}_t - \sum_{\tau=0}^t \xi_{A, t, \tau} \mathbf{x}_{B \rightarrow A, \tau} \right),$$
$$\mathbf{z}_t = a_t (\mathbf{y} - \mathbf{A} \mathbf{x}_{B \rightarrow A, t}) + b_t (\bar{\lambda} - \mathbf{A} \mathbf{A}^T) \mathbf{z}_{t-1},$$
$$\bar{\lambda} = \frac{\lambda_{\max}(\mathbf{A} \mathbf{A}^T) + \lambda_{\min}(\mathbf{A} \mathbf{A}^T)}{2}$$

モジュールB

$$\mathbf{x}_{B, t+1} = \eta_t (\mathbf{x}_{A \rightarrow B, t}),$$
$$\xi_{B, t} = \langle \eta'_t (\mathbf{x}_{A \rightarrow B, t}) \rangle,$$
$$\mathbf{x}_{B \rightarrow A, t+1} = \sum_{\tau=0}^t \theta_{t, \tau} \frac{\mathbf{x}_{B, \tau+1} - \xi_{B, \tau} \mathbf{x}_{A \rightarrow B, \tau}}{1 - \xi_{B, \tau}}$$

Memory AMPの計算量は、最小限である。

[7-14] L. Liu, S. Huang and B. M. Kurkoski, "Memory AMP," *IEEE Trans. Inf. Theory*, 2022,
DOI: 10.1109/TIT.2022.3186166.

Memory AMPの特徴

モジュールA 以下の恒等式を使って、LMMSEフィルタを近似

$$(I - G_t)^{-1} = \sum_{\tau=0}^{\infty} G_t^\tau, \quad G_t = I - b_t \left(\frac{\sigma^2}{v_{B \rightarrow A, t}} I + AA^T \right).$$

$\{\xi_{A, t, \tau}\}$ は誤差の漸近ガウス性が成立するように設計

モジュールB 長期記憶ダンピング[7-15]により、収束を保証[7-14]

Memory AMPの利点

- 観測行列が右直交不変の場合、

状態発展方程式の不動点が唯一ならば、memory AMPは大システム極限で**ベイズ最適**な性能を達成する。[7-14]

[7-15] K. Takeuchi, "On the convergence of orthogonal/vector AMP: Long-memory message-passing strategy," *IEEE Trans. Inf. Theory*, 2022, DOI: 10.1109/TIT.2022.3194855.

WS-CG-VAMP

Warm-Starting Conjugate Gradient VAMP (WS-CG-VAMP) [7-16]

モジュールA

$$\mathbf{x}_{A \rightarrow B, t} = \frac{1}{\epsilon_t} \left(\mathbf{A}^T \mathbf{z}_t^i - \sum_{\tau=0}^t \xi_{A, t, \tau} \mathbf{x}_{B \rightarrow A, \tau} \right),$$

\mathbf{z}_t^i は、線形方程式に対する解 \mathbf{z}_t を i 回のCG反復[7-17]で近似した解

$$\left((\sigma^2 / \nu_{B \rightarrow A, t}) \mathbf{I} + \mathbf{A} \mathbf{A}^T \right) \mathbf{z}_t = \mathbf{y} - \mathbf{A} \mathbf{x}_{B \rightarrow A, t}$$

モジュールB

$$\mathbf{x}_{B, t+1} = \eta_t (\mathbf{x}_{A \rightarrow B, t}),$$

$$\mathbf{x}_{B \rightarrow A, t+1} = \frac{\mathbf{x}_{B, t+1} - \xi_{B, t} \mathbf{x}_{A \rightarrow B, t}}{1 - \xi_{B, t}},$$

$$\xi_{B, t} = \langle \eta'_t (\mathbf{x}_{A \rightarrow B, t}) \rangle$$

$$\nu_{B \rightarrow A, t+1} = \frac{\xi_{B, t} \nu_{A \rightarrow B, t}}{1 - \xi_{B, t}}$$

[7-16] N. Skuratovs and M. E. Davies, “Compressed sensing with upscaled vector approximate message passing,” *IEEE Trans. Inf. Theory*, vol. 68, no. 7, pp. 4818–4836, Jul. 2022.

[7-17] K. Takeuchi and C.-K. Wen, “Rigorous dynamics of expectation-propagation signal detection via the conjugate gradient method,” in *Proc. 18th IEEE Int. Workshop Sig. Process. Advances Wirel. Commun.*, Sapporo, Japan, Jul. 2017, pp. 88–92.

WS-CG-VAMPの特徴

WS-CG-VAMPの利点

- WS-CG-VAMPの計算量は、**最小限**である。
- 観測行列が右直交不変の場合、
状態発展方程式の不動点が唯一ならば、WS-CG-VAMPは大システム極限で**ベイズ最適な性能**を達成する。[7-16]

Memory AMPとWS-CG-VAMPの比較

Memory AMPは、CG反復1回のWS-CG-VAMPと同等性能

未解決課題

- Memory AMPとWS-CG-VAMP ($i > 1$) の公平な比較
- システムが大きすぎる ($N = 2^{14}$ [7-14]、 $N = 2^{20}$ [7-16])

Rotationally Invariant AMP

Rotationally Invariant AMP (RI-AMP) [7–18]

モジュールA

$$\mathbf{x}_{A,t} = \phi_t(\mathbf{x}_{B \rightarrow A,1}, \dots, \mathbf{x}_{B \rightarrow A,t}, \mathbf{y}),$$
$$\mathbf{x}_{A \rightarrow B,t} = \mathbf{A}^T \mathbf{x}_{A,t} - \sum_{\tau=1}^t \theta_{A,t,\tau} \mathbf{x}_{B,\tau}$$

モジュールB

$$\mathbf{x}_{B,t+1} = \psi_t(\mathbf{x}_{A \rightarrow B,0}, \dots, \mathbf{x}_{A \rightarrow B,t}),$$
$$\mathbf{x}_{B \rightarrow A,t+1} = \mathbf{A} \mathbf{x}_{B,t+1} - \sum_{\tau=0}^t \theta_{B,t,\tau} \mathbf{x}_{A,\tau}$$

RI-AMPの計算量は、最小限である。

[7-18] Z. Fan, “Approximate message passing algorithms for rotationally invariant matrices,” *Ann. Statist.*, vol. 50, no. 1, pp. 197–224, Feb. 2022.

RI-AMPの特徴

利点

- 状態発展法[7-18]により、誤差の漸近ガウス性が成立するように、 $\{\theta_{A,t,\tau}, \theta_{B,t,\tau}\}$ を設計できる。
- 状態発展法[7-18]は、Dynamical Functional Theory [7-19]を応用・厳密化した結果である。

未解決問題

- 状態発展法を用いてベイズ最適な ϕ_t や ψ_t を定義できるが、最適化問題が複雑すぎて、解が解けない。

[7-19] M. Opper, B. Çakmak, and O. Winther, “A theory of solving TAP equations for Ising models with general invariant random matrices,” *J. Phys. A: Math. Theor.*, vol. 49, no. 11, p. 114002, Feb. 2016.

まとめ

アルゴリズム	計算量	信号事前分布	観測行列	収束性	ベイズ最適
AMP [3-1]	最小限	任意	i.i.d.ガウス	証明済	証明済
OAMP/VAMP [7-3, 7-4]	高	非ガウス	右直交不変	証明済 [7-15]	証明済
CAMP [7-12]	最小限	任意	右直交不変	低条件数のみ	証明済 (収束すれば)
Memory AMP [7-14]	最小限	非ガウス	右直交不変	証明済	証明済
WS-CG-VAMP [7-16]	最小限	非ガウス	右直交不変	証明済	証明済
RI-AMP [7-18]	最小限	任意	右直交不変	?	?

赤字は欠点/未解決問題を表す。

現状で、赤字の項目がないアルゴリズムは存在しない。